

1. Grundlagen

1.1. Einheiten

SI Einheiten wegen Energie und Längenmaßen
in der Teilchenphysik nicht praktisch

typische Dimensionen $< 10 \text{ fm} = 10^{-14} \text{ m}$

Bildungsenergie 1 GeV

Massen von Teilchen $100 \text{ GeV} - 1000 \text{ GeV}$

schwerstes Quark $m_q c^2 = 174 \text{ GeV}$

etwa wie schwerer Atomkern $^{208} \text{Pb} = 194 \text{ GeV}$

Pulse von Kerndimensionen aufzulösen

$$\hbar c = 1240 \text{ GeV} \cdot \text{fm}$$

$$p_c = \hbar c / \lambda = 1240 \text{ GeV fm} / (1-10 \text{ fm}) \approx 100-1000 \text{ GeV}$$

\Rightarrow Energie und Impuls haben $\text{GeV} - \text{GeV}$

Massen: $m c^2 \approx "$

Zeiten: hängt von Prozess ab, oft praktisch in $\text{fm}/c \leftarrow$ Zeit wird lediglich best. Distanz dividiert

$$1 \text{ fm}/c = 3.33 \cdot 10^{-24} \text{ s}$$

Elektrische Ladung: Feinstrukturkonstante

$$\alpha = \frac{e^2}{4\pi\epsilon_0 \hbar c} = \frac{1}{137.04}$$

$$\text{mit } \hbar c = 197 \text{ GeV fm } \frac{e^2}{4\pi\epsilon_0} = 1.44 \text{ GeV fm} \equiv "e^2"$$

1.2. Relativistische Kinematik

PEP 112, PTP 112, PTP 3 Wh 1. Stunde Gruppenunterricht + Teil des 1. Übung Blatts

1.3 Fermi's Goldene Regel und Phaserraum

siehe Ende PTP 4 Berechnung Übergangsrate von Zustand α nach Zustand β basierend auf Stoßwellentheorie. WW die für Übergang zuständig ist, ist schwach $H = H_0 + H_{\text{int}}$ so daß α und β in Basis von Eigenfunktionen von H_0 expandiert werden können.

$$W_{\alpha \beta} = \frac{dP}{dt} = \frac{2\pi}{\hbar} \left| \underbrace{\langle \psi_\beta | H_{\text{int}} | \psi_\alpha \rangle}_{\text{Matrixelement von } H_{\text{int}}} \right|^2 g(\epsilon)$$

Matrixelement von H_{int} Zustandsdichte
im Endzustand

"Fermi's Goldene Regel" (erfunden von Dirac)

$g(\epsilon)$: Anzahl von Endzuständen pro Energieintervall im 6-dim Phaserraum (x, y, z, p_x, p_y, p_z) werden wegen Unschärferelationen an Punkte durch Verteilung $h^3 = (2\pi\hbar)^3$ verteilt

1 Dimension: für Positionen zwischen x und $x+L$ und Impulse zwischen p_x und p_x+p kann die Fläche Lp mit $N = LP/(2\pi\hbar)$ Zuständen gefüllt werden, damit wird $g(\epsilon) = \frac{dN}{dE} = 2 \frac{dN}{dp} \frac{dp}{dE} = \frac{L}{2\pi\hbar} \sqrt{\frac{2m}{\epsilon}}$ nichtrelativ.
 ↑ für jedes ϵ 2 entartete Zustände mit p und $-p$

$$3 \text{ Dimensionen: } N = \frac{1}{(2\pi\hbar)^3} \int d^3p = \frac{V}{(2\pi\hbar)^3} \int p^2 dp d\Omega$$

$$\text{mit } E^2 = (pc)^2 + (mc^2)^2 \Rightarrow N = \frac{V4\pi}{(2\pi\hbar)^3} \int p^2 \frac{E}{pc^2} dE \quad \left[\frac{\partial N}{\partial E} = \frac{VEP}{2\pi^2 \hbar^3 c^2} \right]$$

"Ein Teilchenphaserraum"

2 Teilchen in 3 Dim: mit totalem Impuls
 $p = p_1 + p_2$ (im cui $p_i^2 = p_i^2$) und Energie $E = E_1 + E_2$
 Anzahl von Zuständen für 1 Teilchen ab Dichte unterschiedlich wegen

$$g_2 = \frac{dN_2}{dE} = \frac{V}{(2\pi\hbar)^3 c^2} \frac{E_1 E_2 p_1}{E_1 + E_2} \int d\Omega,$$

Übrigens: am Ende fällt V immer wegen entsprechender Normierung der Wellenfunktion heraus.
 bei entarteten Zuständen mit Entartungsgrad multiplizieren

1.4. Reaktionsrate

z.B. Rutherfordstrahlung (elastisch) $\alpha + Au \rightarrow \alpha + Au$
 Rate von Ereignissen gegeben durch einfallenden Teilchenanz., Anzahl von Strukturen und Wirkungsquerschnitt σ [Fläche $[cm^2]$] (PEP3, PTP1/2)
 nach einer typischen Länge λ passiert Stoßweg
 $\lambda = \frac{1}{n \cdot \sigma}$ wenn Strukturen Dichte n haben
 \hookrightarrow mittlere freie Weglänge, vernachlässigt Bewegung der Strukturen

Wahrscheinlichkeit, dass einfallendes Teilchen gestoppt wird $P = 1 - \exp(-x/\lambda)$ und für $x \ll \lambda$ ("dünnes Target") $P \approx \frac{x}{\lambda} = \underbrace{\sigma \cdot n \cdot x}_{N_t = \text{Flächendichte von Strukturen}}$

$$\text{Strukturrate } R \left[\frac{1}{s} \right] = N_b \left[\frac{1}{s} \right] \cdot N_t \left[\frac{1}{\text{cm}^2} \right] \cdot \delta \left[\text{cm}^2 \right]$$

δ kann generell für alle möglichen Prozesse definiert werden: elastische o. inelastische Streuung, Absorption, Reaktion $A + B \rightarrow C + D + E \dots$. Wahrscheinlichkeiten addieren sich zu "totaler Wirkungsquerschnitt"

$\delta = \delta_{\text{el}} + \delta_{\text{inel}} + \delta_{\text{abs}} + \dots$ δ_j partielle Wirkungsqu. typischerweise ist Wirkungsquerschnitt winkelabhängig d.h. betrachtet $d\delta/d\Omega$ oder $d\delta/d\Omega^2$ bzw. für inelastische Prozesse doppelt differentiell $d^2\delta/dEd\Omega$

Skala für Wirkungsquerschnitt gegeben durch "geometrischen Wirkungsquerschnitt" besonders sinnvoll, wenn Reichweite der Wiederkwirkung kurz und Stoßpartner endliche Ausdehnung haben.

Targetfeilchen mit Radius r_t und Projektille mit r_p : $\delta_{\text{geo}} = \pi (r_p + r_t)^2$



Wahrscheinlichkeit für "Tochter" ist Bruchteil der Targetfläche die durch Strukturkerne mit je zufälliger Fläche δ_{geo} besetzt ist z.B. Proton-Proton-Kollisionen: $r_p \approx 0.8 \text{ fm}$

$$\delta_{\text{geo}} = \delta \text{ fm}^2 = 80 \text{ mb}$$

mit Dimension $1b = 10^{-24} \text{ cm}^2 = 100 \text{ fm}^2$ vgl. typischer pp Wirkungsquerschnitt bei $p \approx 10 \text{ GeV}$

$$\delta_{\text{tot}} = \delta_{\text{el}} + \delta_{\text{inel}} = 40 \text{ mb} \quad (\text{davon } \delta_{\text{inel}} \approx 30 \text{ mb})$$

d.h. Wahrscheinlichkeit für pp-Streuung ist von Größenordnung 1 wenn Protonen sich treffen

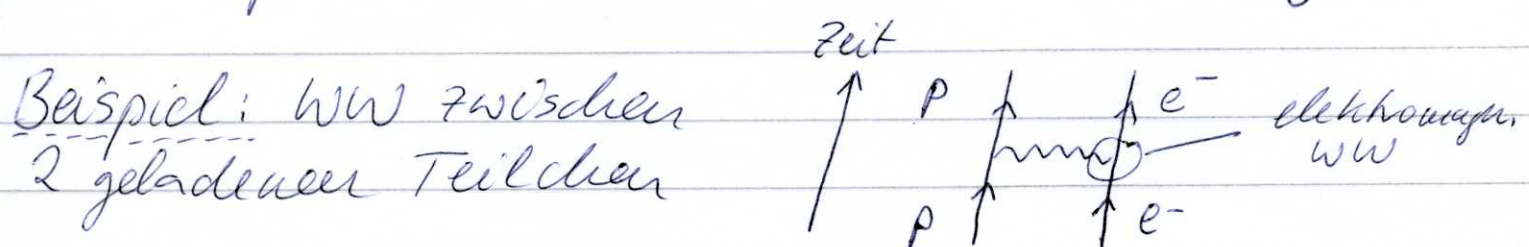
für Atomkerne: $r_A \approx 1.2 \text{ fm} \cdot A^{1/3}$ Massenzahl
 Blei - Blei $\sigma_{\text{geo}} \approx 6.35 \text{ b}$

für spezielle "exklusiven" Endzustand ist
 Wirkungsquerschnitt oft viel kleiner
 z.B. $p + \bar{p} \rightarrow t + \bar{t} + X$ bei $E_{\text{kin}} = 1.8 \text{ TeV}$ $\sigma_{t\bar{t}} \approx 5 \text{ pb}$
 \uparrow Antiproton \nwarrow Top- und Antitop-Quarks 10 GeV ord.
 unterdrückt

1.5. Feynman-Diagramme

In den 1940ern von R. Feynman entwickelte elegante Methode, um Übergänge und WW

- a) bildhaft eindeutig darstellen und
 - b) mit Bildern (Feynman-Diagrammen) kleine mathematische Regeln (Feynman Regeln) zu verbinden, um Wirkungsquerschnitte zu berechnen (relativistische Quantenfeldtheorie)
- hier hauptsächlich bildliche Darstellung



(oft auch Zeit \rightarrow)

Regeln, Bild zu erstellen:

- "reelle Teilchen" dargestellt durch Stäbchen in pos. Zeitrichtung (von - unendlich nach + unendlich) reell: $p^2 = E^2 - \vec{p}^2 = m^2$
- Antiteilchen: Stäbchen in negative Zeitrichtung

- "virtuelle Teilchen" dargestellt durch Segmente (Linien, die im Diagramm beginnen und enden) $p^2 = E^2 - \vec{p}^2 \neq m^2$, möglich für Zeit von Δt wegen $\Delta E \cdot \Delta t \geq \hbar/2$

für masselose Teilchen wie Photonen

$$p_\gamma = (\omega, \vec{k}) \text{ reelles Photon } p_\gamma^2 = \omega^2 - \vec{k}^2 = 0$$

$$\text{virtuelles Photon } p_\gamma^2 = \omega^2 - \vec{k}^2 < 0$$

- Fermionen: gerade Linien
Bosonen: Wellenlinie zu Photon WW
geschrückte Linie --- W, Z-Boson schwach
Spirale muon Gluon stark

- Punkte an denen Linien zusammenstoßen (3 oder mehr) "Vertex"; Vertex und angrenzende Linien beschreiben Absorption o. Emission eines Teilchens

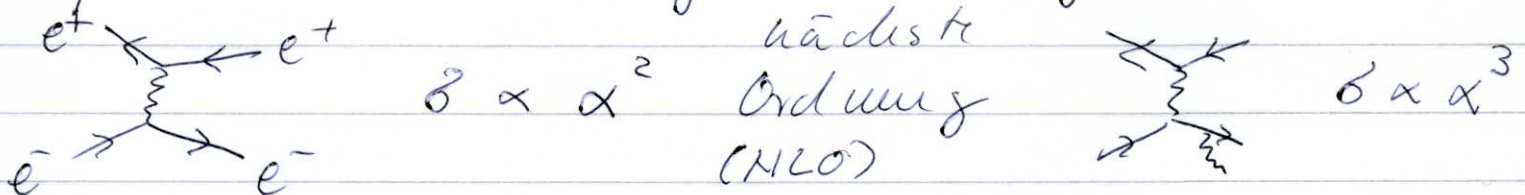
- Linien beschreiben Propagation eines Teilchens
seine Quantifikator Beimengung:

- jeder Vertex ist charakterisiert durch eine Kopplungskonstante je nach Art der WW, z.B. $\alpha = \frac{1}{137}$ für elektromagnetische WW

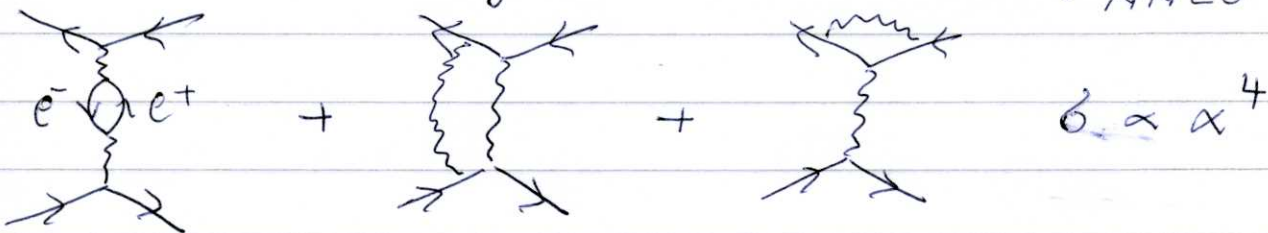
Übergangswahrscheinlichkeit $\propto V \propto f$ für jeden Vertex
Wirkungsquerschnitt \propto Übergangs wahrsch $\propto \propto f$
jeden Vertex

- berechne Wahrscheinlichkeit nach folgendem Rezept $P \propto |\langle I | I \rangle|^2$, Linien, die Teilchen darstellen \leftrightarrow Wellenfunktion, Vertex \leftrightarrow Kopplungs- konstant, Segmente, die virtuelle Teilchen darstellen \leftrightarrow Propagator; Beitrag zum Matrixelement $\frac{1}{m^2 + q^2}$ q^2 4-er Impulsübertrag (für Bosonen)

führende Ordnung ("leading order")



höchste Ordnung (next to leading order) $\stackrel{\text{next to}}{\text{NNLO}}$



1.6 Wechselwirkung von Teilchen u. Materie

geladene Teilchen ionisieren: das E-Feld einer bewegten Ladung zieht Kraft auf gebundene Elektronen aus, überträgt Impuls. Fokussiert ein Elektron in verschiedene Abstand (transversal) zu Teilchen ergibt Energieverlust des geladenen Teilchens

$$-\frac{dE}{dx} = \frac{n 4\pi z^2 e^4}{m c^2 \beta^2} \left(\ln \frac{2 m c^2 \beta^2 \gamma^2}{I} - \beta^2 \right)$$

"Bethe-Bloch Formel" Ableitung z.B. Skript

$-dE$ ist Energie, die über Distanz dx verloren wird wenn Teilchen mit Ladung ze und Geschwindigkeit β durch Medium mit Elektronendichte

$$n = \frac{Z N_A}{A} \text{ propagiert. } m c^2 = 0.511 \text{ MeV}$$

Ionisationsenergie $I \approx (10z \pm 1) \text{ eV}$ für $z \geq 6$ dazu gibt es detaillierte Korrekturen, die aber quantitativen Verlauf nicht ändern.

Energieabhängigkeit:

\Rightarrow Abb. 1-1

- bei kleinen β Abfall von $dE/dx \propto \beta^{-2}$
- breites Minimum bei $\beta_J = \frac{pc}{m_0 c^2} \approx 3-3.5$
- dann logarithmischer Anstieg
(Korrektur relativ zu Bethe-Block für u. wegen
Polarisation des Mediums, Lorentzkontraktion
des E -Feldes)

Teilchen mit $\beta_J \approx 3$ "minimal ionisierend", ver-
lust $1.2-1.8 \text{ ReV/g/cm}^2 \leftarrow$ sehr Skala
für höhere Energie sehr moderater Anstieg ($\leq 50\%$)

für Elektronen hoher Energie überwiegt ein anderes
Prozess: im Medium wird Elektron im Coulomb-
feld eines Kerns, an dem es vorbeifliegt, ab-
schleunigt und erzielt Bremsstrahlung

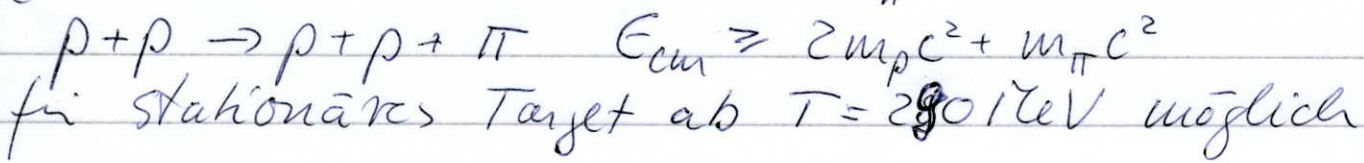
$$\text{dominante Strahlung} \rightarrow \frac{dE}{dx_{br}} = \frac{E}{X_0}$$

X_0 charakteristische Länge
über die Energie auf
% abfällt "Strahlungsänge"

$$X_0(C) = 18.8 \text{ cm} \quad X_0(Pb) = 0.56 \text{ cm}$$

dominant für Energien $> 580 \text{ ReV/Z}$

für Protonen hoher Energie dominiert starke
WW über elektromagnetische WW sobald es energie-
tisch möglich ist, Pionen zu produzieren
(Pionen: leidteste Hadronen $m_\pi c^2 \approx 140 \text{ ReV}$)



bei noch höheren Energien $p+p \rightarrow p+p + n\pi + \dots$
 $\delta \approx \delta_{inel}$ 30 mb bei 10 GeV, 80 mb bei 10 TeV

das selbe passiert für alle Teilchen, die stark wechselwirken (Hadronen).

Konsequenz: produzierte Pionen (etc.) wechselwirken mit anderen Nukleonen stark und produzieren mehr Pionen \rightarrow Bildung eines "hadronischen Schauers" bestehend aus vielen Nukleonen, Pionen, ...

räumliche Ausdehnung z.B. in Kohlenstoff 2.5 m

Weglänge bevor starke WW passiert $\lambda_{int} = \frac{1}{\delta_A \delta_{NA}}$

$$p+C \quad \rho_c = 2.3 \text{ g/cm}^3 \approx 1.15 \cdot 10^{23} \text{ Atome/cm}^3 \\ \delta_{geo} = \pi (0.8 + 1.2 \cdot 12^{1/3})^2 \text{ fm}^2 = 395 \text{ mb} \quad \left. \begin{array}{l} \lambda_{int} = 38 \text{ cm} \\ \delta_{NC} \approx 230 \text{ mb} \end{array} \right\}$$

$$\text{Schauer Tiefe} \approx 8-10 \lambda_{int}$$

Photonen: Lambert - Beersches Gesetz $I = I_0 e^{-\mu x}$
 - Ändert nach Schichtdicke x gegeben durch Absorptionskoeffizient $\mu [\text{cm}^{-1}]$. Nur vom Aggregatzustand weniger abhängig zu sein \rightarrow Massenabsorptionskoeff. $\mu' = \mu / g [\text{cm}^2/\text{g}]$, dann beenden von $X = g \cdot x$

μ kommt durch Überlagerung von im Wesentlichen 3 Prozessen zusamm

Photolektrik (Einstein 1905) $\gamma + \text{Atom} \rightarrow \text{Atom}^+ + e^-$
 wenn $E_\gamma > I_b$ Bindungsenergie des Elektrons

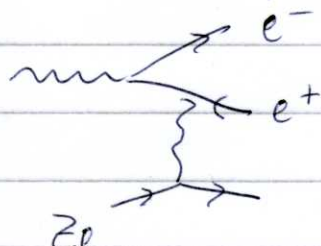
führt zu K, L, ... Absorptionskanten, da I_b stark Z -abhängig, starke Z -Abhängigkeit der Wahrscheinlichkeit für Photoeffekt $\sigma_{ph} \propto Z^5/E_Z^{7/2}$ dominant für $E_Z \lesssim 0.1 - 1 \text{ MeV}$ (je nach Z)
Compton-Effekt (Compton 1922) $e^- \rightarrow e^- + e^-$

$$\frac{1}{E'} - \frac{1}{E} = \frac{1}{m_e c^2} (1 - \cos \vartheta) \leq \frac{2}{m_e c^2}$$

max. Energieverlust wenn Photon rückgestreut wird

Wirkungsquerschnitt aus QED Berechnung
 (Klein-Nishina) $\sigma_c \propto Z/E_{kin}^2$ Photon-Elektron-Energie dominant für $0.1 - 10 \text{ MeV}$ (Klein's Z)
 $1 - 2 \text{ GeV}$ (großes Z)

Paarbildung (Bethe-Heitler) mit e^+e^- im freien Raum nicht möglich, aber in Umgebung eines Atomkerns, der Rückstoß aufnimmt



Grenzschwelle

$$E_Z \geq 2m_e c^2 + 2 \frac{(m_e c^2)^2}{m_K c^2} \geq 1.022 \text{ GeV}$$

Bem.: Feynman Diagramm wie Bremsstrahlung, daher auch Wirkungsquerschnitt, daher taucht auch hier die Strahlungslänge λ_0 auf. Nach typischerweise $\frac{9}{7} \lambda_0$ im Medium annähert Photon ein e^+e^- . Bei hoher Energie bildet sich sowohl aus Photon als auch aus Elektron "elektromagnetischer Schauer": Photon $\rightarrow e^+e^-$ e^+ und e^- emittieren Bremsstrahlungsfotonen, die machen wieder Paarbildung, --- Ausdehnung: $\approx 10 \lambda_0$ $\Rightarrow F_{1-2}$

Zurück zu Photon: Beiträge der 3 Prozesse addieren sich $\mu = \mu_{pe} + \mu_c + \mu_p \Rightarrow \boxed{\text{Fig 1-3}}$

1.7 Teilchendetektoren

Experimente in der Kern- und Teilchenphysik weisen gestrahlte und produzierte Teilchen nach, bestimmen Impuls oder Energie und Identität.

Impulsmessung: Ableitung geladener Teilchen in Magnetfeld durch Lorentzkraft
 Krümmungsradius der Spur $r = \frac{p_\perp}{qB}$
 wobei p_\perp Impulskomponente senkrecht zu B ist.

Spur wird "sichtbar" gemacht via Elektrizität in dünnen Detektoren, die Teilchen praktisch nicht abbremsen, misst.

Etwas Gasfänger, wobei Elektronen noch im Gas verstärkt werden durch Sekundärionisation im hohen E-Feld (Trick: Feldliniendichtheit in der Nähe eines sehr dünnen Drahtes)

Beispiel Vieldrahtproportionalzähler $\Rightarrow \boxed{\text{Fig 1-4}}$
 $\Delta x \approx 200-400 \mu\text{m}$

oder dünne Halbleiterdetektoren ($\approx 300 \mu\text{m}$ dick)
 auf die durch lithographische Verfahren geeignete Strukturierung werden so daß Signale in schmalen Streifen ($100 \mu\text{m}$) oder Pixeln ($50 \times 100 \mu\text{m}^2$) ausgewertet werden $\Delta x = 10-20 \mu\text{m}$

Energiemessung: für Hadronen hoher Energie (auch neutrale) Absorption eines hadronischen Schauers in einem Kalorimeter; Auslese auch von Ionisationssignalen
 Ionisation kann auch in sekundärer Prozess zu Lichteinissen (sichtbar!) führen (Strahlungslicht). Dann Lichtausweis

Photonenmessung: Halbleiterdetektor oder Kristalle die strahllosen (NaI), bei hoher Energie Absorption eines elektromagnetischen Schauers in einem Kalorimeter.

Teilchenidentifikation: Bestimmung der Masse aus Vergleich von Zepuls und Geschwindigkeit (Flugzeitmessung) oder Zepuls und Energie oder Rekonstruktion der inneren Masse aus Zepulsen von Zerfallsprodukten oder spezielle Tricks.